

УДК 539.3

© 1989

А. Г. ТЯШИН

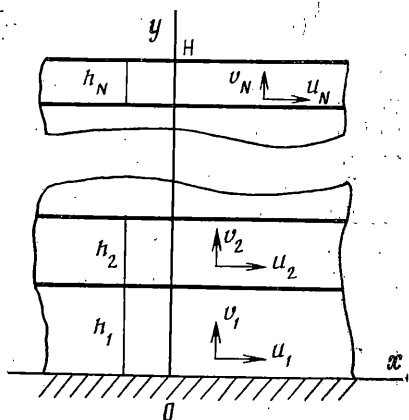
КОМПЛЕКСНЫЕ КОРНИ ДИСПЕРСИОННОГО УРАВНЕНИЯ  
ДЛЯ ВОЛН РЭЛЕЯ В МНОГОСЛОЙНОМ ПАКЕТЕ  
НА ЖЕСТКОМ ПОЛУПРОСТРАНСТВЕ

Обсуждаются асимптотические свойства спектра корней дисперсионного уравнения и строится численный метод решения уравнения на основе этих свойств.

Задача определения характеристик гармонических поверхностных волн в акустике, сейсмологии [1], а также в теории многослойных конструкций [2] сводится либо к задаче о собственных значениях матриц, получаемых с помощью гипотез об изменении перемещений по глубине [3-5], либо к решению дисперсионного уравнения [1, 6-8]. При расчете динамических краевых эффектов, взаимодействия включений со слоистой средой требуется учитывать быстро затухающие волны, а для этого определять не только чисто мнимые, но и комплексные корни дисперсионного уравнения [5, 9-11].

1. Дисперсионное уравнение при исчезающе малой частоте. Рассмотрим плоские гармонические волны Рэлея в пакете из изотропных однородных слоев на жестком полупространстве (фиг. 1). Перемещений слоя  $l$  пакета в пространстве Фурье удовлетворяют уравнениям

$$\begin{aligned} &(\lambda_l + 2\mu_l) \frac{\partial^2 u_l}{\partial x^2} + \mu_l \frac{\partial^2 u_l}{\partial y^2} + \\ &+ (\lambda_l + \mu_l) \frac{\partial^2 v_l}{\partial x \partial y} = -\rho_l \omega^2 u_l \\ &(\lambda_l + 2\mu_l) \frac{\partial^2 v_l}{\partial y^2} + \mu_l \frac{\partial^2 v_l}{\partial x^2} + \\ &+ (\lambda_l + \mu_l) \frac{\partial^2 u_l}{\partial x \partial y} = -\rho_l \omega^2 v_l \end{aligned} \quad (1)$$



Фиг. 1

где  $\lambda_l$  и  $\mu_l$  — комплексные аналоги постоянных Ламе с учетом внутреннего трения,  $\rho_l$  — плотность материала слоя,  $\omega$  — круговая частота колебаний. На нижней границе пакета и между слоями примем условия полного контакта, на верхней границе — условия отсутствия напряжений.

Будем искать решение (1) в виде  $(u_l, v_l)^T = (U_l, V_l)^T \exp(k_1 x + r_2^l y)$ . Тогда для фиксированного значения  $k_1$  получаем две пары значений  $r_2^l$ , которые обозначим  $\pm k_2^l, \pm p_2^l$ :

$$(k_2^l)^2 = -k_1^2 - \rho_l \omega^2 / \mu_l \quad (p_2^l)^2 = -k_1^2 - \rho_l \omega^2 / (\lambda_l + 2\mu_l)$$

Применяя матричный алгоритм, аналогичный [7], с учетом условий на нижней границе пакета и на границах между слоями, приходим к соотношениям для перемещений и напряжений в  $l$ -м слое снизу

$$\begin{aligned} (u_l, v_l, \sigma_y^l, \tau^l)^T &= \mathbf{D}_l \mathbf{V}_l \mathbf{T}_{l-1} \mathbf{V}_{l-1} \dots \mathbf{T}_2 \mathbf{B}_2 \mathbf{T}_1 \mathbf{V}_1 (W_1, W_2)^T \exp(k_1 x) \quad (2) \\ \mathbf{D}_l &= \text{diag} [1, i, -2\mu_l k_1, 2\mu_l i k_1] \\ \mathbf{T}_l &= \text{diag} [1, 1, t_l, t_l], \quad t_l = \mu_l / \mu_{l+1} \end{aligned}$$

где  $\mathbf{B}_j$  ( $j=1, 2, \dots, N$ ) — матрица ( $4 \times 4$ ) с элементами (индекс слоя  $j$  опускаем):

$$\begin{aligned} b_{13} &= \alpha^{-1} (\operatorname{ch} p - \operatorname{ch} k), & b_{33} &= b_{13} + \operatorname{ch} p, & b_{24} &= -b_{13} \\ b_{23} &= \alpha^{-1} [(p_2/ik_1) \operatorname{sh} p + (k_1/ik_2) \operatorname{sh} k], & b_{22} &= b_{33} \\ b_{43} &= b_{23} - (ik_1/k_2) \operatorname{sh} k, & b_{44} &= \operatorname{ch} k - b_{13}, & b_{11} &= b_{44} \\ b_{14} &= -\alpha^{-1} [(ik_2/k_1) \operatorname{sh} k + (ik_1/p_2) \operatorname{sh} p], & b_{21} &= -b_{43} \\ b_{34} &= b_{14} - (ik_1/p_2) \operatorname{sh} p, & b_{31} &= \operatorname{ch} k - \operatorname{ch} p - b_{13} \\ b_{41} &= b_{21} + (1 + \alpha) (ik_1/k_2) \operatorname{sh} k, & b_{12} &= (ik_1/p_2) \operatorname{sh} p - b_{14} \\ b_{32} &= (1 + \alpha) (ik_1/p_2) \operatorname{sh} p + b_{12}, & b_{42} &= -b_{31} \\ \alpha &= \rho \omega^2 / 2\mu k_1^2, & k &= k_2 h, & p &= p_2 h \end{aligned} \quad (3)$$

$\mathbf{B}_j$  — матрица ( $4 \times 2$ ), содержащая два последних столбца матрицы (3);  $W_1, W_2$  — произвольные константы, пропорциональные напряжениям  $\sigma_y$  и  $\tau$  на нижней границе пакета. В слоях от первого до  $(l-1)$ -го в качестве  $h$  выступают толщины слоев; в слое  $l$ , где ищутся перемещения и напряжения, вместо  $h$  используется величина  $y - (h_1 + h_2 + \dots + h_{l-1})$ .

Подставляя (2) в условия отсутствия напряжений на верхней границе пакета, приходим к дисперсионному уравнению  $\det \mathbf{A} = 0$ , где  $\mathbf{A}$  — нижний блок размерностью ( $2 \times 2$ ) матрицы  $\mathbf{F}$ , определяемой по формуле  $\mathbf{F} = \mathbf{B}_N \mathbf{T}_{N-1} \mathbf{B}_{N-1} \dots \mathbf{T}_1 \mathbf{B}_1$ .

Используя метод малого параметра по  $(\omega/k_1)^2$  и вводя обозначения  $\kappa = ik_1 h$ ,  $s = \operatorname{sh} \kappa$ ,  $c = \operatorname{ch} \kappa$ ,  $\gamma = \mu / (\lambda + 2\mu)$  получаем (опуская индексы слоев)

$$\mathbf{B} = \mathbf{R} + O(\omega^2/k_1^2)$$

$$\mathbf{R} = \begin{vmatrix} c & -\gamma s & 0 & (1 + \gamma) s \\ -\gamma s & c & (1 + \gamma) s & 0 \\ 0 & (1 - \gamma) s & c & \gamma s \\ (1 - \gamma) s & 0 & \gamma s & c \end{vmatrix} + \kappa (1 - \gamma) \begin{vmatrix} s & -c & -s & c \\ c & -s & -c & s \\ s & -c & -s & c \\ c & -s & -c & s \end{vmatrix} \quad (4)$$

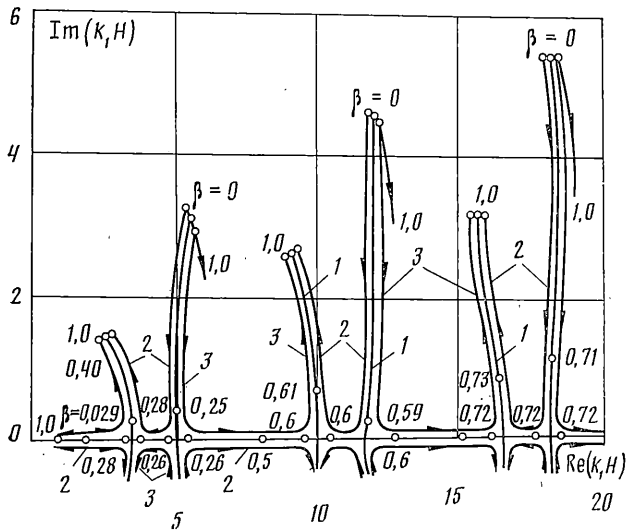
Таким образом, при  $\omega/k_1 \rightarrow 0$  получаем асимптотическое дисперсионное уравнение  $\det \mathbf{A}_0 = 0$ , где  $\mathbf{A}_0$  — нижний блок ( $2 \times 2$ )-матрицы  $\mathbf{F}_0$ , определяемой по формуле  $\mathbf{F}_0 = \mathbf{R}_N \mathbf{T}_{N-1} \mathbf{R}_{N-1} \dots \mathbf{R}_2 \mathbf{T}_1 \mathbf{R}_1$ . Здесь  $\mathbf{R}_l$  состоит из двух последних столбцов матрицы (4).

Перепишем матрицу  $\mathbf{F}$  в виде  $\mathbf{F} = \mathbf{Y}_l \mathbf{T}_l \mathbf{F}_l$ , где  $\mathbf{Y}_l = \mathbf{B}_N \dots \mathbf{B}_{l+1}$ ,  $\mathbf{F}_l = \mathbf{B}_l \dots \mathbf{T}_1 \mathbf{B}_1$ . При  $t_l \rightarrow \infty$  дисперсионное уравнение распадается на два уравнения

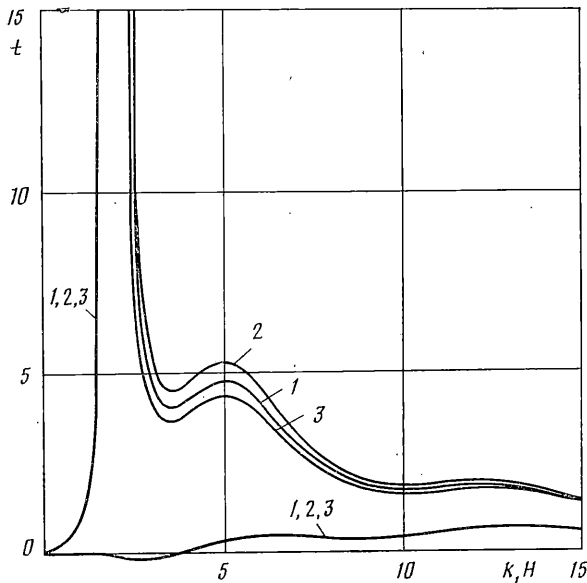
$$\begin{vmatrix} f_{31} & f_{32} \\ f_{41} & f_{42} \end{vmatrix} = 0, \quad \begin{vmatrix} y_{33} & y_{34} \\ y_{43} & y_{44} \end{vmatrix} = 0$$

первое из которых является дисперсионным для пакета из  $l$  нижних слоев, рассматриваемого без верхних. Из определения матрицы  $\mathbf{B}_1$  следует, что второе уравнение является дисперсионным для пакета из  $(N-l)$  слоев, лежащего на жестком полупространстве. При  $t_l \rightarrow \infty$  ( $l=1, 2, \dots, N-1$ ) все слои работают независимо, и множество корней уравнения  $\det \mathbf{A} = 0$  для многослойного пакета есть объединение множеств корней  $N$  уравнений для однослойных оснований на жестком полупространстве, соответствующих отдельным слоям пакета. Для них известны асимптотические формулы, точность которых растет с уменьшением частоты и увеличением модулей корней [9]. Указанная асимптотика корней при увеличении разницы сдвиговых жесткостей слоев справедлива и для асимптотического дисперсионного уравнения  $\det \mathbf{A}_0 = 0$ .

**2. Численное решение дисперсионного уравнения.** Построим алгоритм численного решения в два этапа. На первом этапе решается асимптотическое дисперсионное уравнение. Безразмерный параметр  $\beta$  с небольшим шагом меняется от нуля до единицы и при каждом значении  $\beta$  численно решается уравнение  $\det \mathbf{A}_0 = 0$  для пакета с отношениями жесткостей  $\tau_l = t_l/\beta$ . Здесь  $t_l$  — отношения жесткостей исходного пакета ( $l=1, 2, \dots, N-1$ ). При очередном значении  $\beta$  в качестве начальных приближений для корней используются корни, полученные при предыдущем значении  $\beta$ . На первом шаге начальные приближения — корни уравнений для однослойных оснований, вычисленные по асимптотическим формулам. Описанный алгоритм по-



Фиг. 2



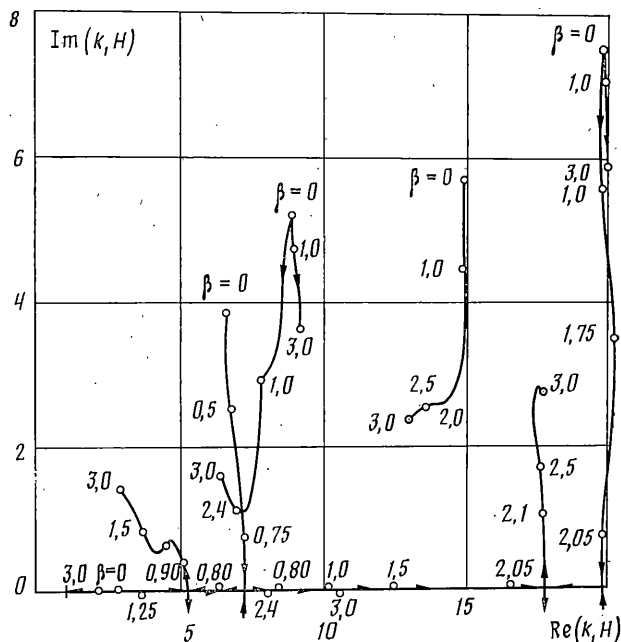
Фиг. 3

строен в предположении, что корни асимптотического дисперсионного уравнения непрерывно зависят от  $\beta$ . Это предположение выполняется при условии, что все  $\tau_i > 1$  при любом значении  $\beta$  из рассматриваемого диапазона. Ограничимся случаем  $t_i > 1$ , типичным для задач о взаимодействии сооружений с основаниями.

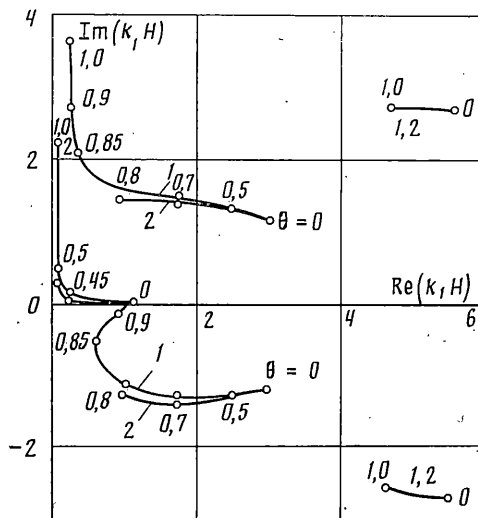
На втором этапе решается полное дисперсионное уравнение  $\det A = 0$ . Частота  $\omega$  меняется с небольшим шагом от нуля до требуемой величины. Начальными приближениями на очередном шаге служат корни, вычисленные на предыдущем шаге, а на первом шаге — корни асимптотического дисперсионного уравнения  $\det A_0 = 0$ , полученные на первом этапе. Для однослойного основания, когда первый этап не нужен, такой алгоритм реализован в [11].

В качестве примера рассмотрим поведение корней асимптотического дисперсионного уравнения  $\det A_0 = 0$  для двухслойного пакета при одинаковых толщинах слоев, одинаковых коэффициентах Пуассона 0,3 и действительном отношении модулей сдвига  $t$  (комплексные отношения модулей сдвига и комплексные коэффициенты Пуассона в пространстве Фурье появляются в асимптотическом дисперсионном уравнении, если при малых частотах тангенсы углов потерь не стремятся к нулю). На фиг. 2 (кривые 1) показаны наименьшие по модулю корни на правой комплексной полуплоскости при значениях  $\beta = t^{-1}$  от нуля до единицы. Кривые 2 показывают смещение корней при  $\text{Im } \nu_{1,2} > 0$ , кривые 3 — при  $\text{Im } \nu_{1,2} < 0$ .

Остановимся на особенности, возникающей при  $t \rightarrow 1$ . Рассмотрим случай действительных коэффициентов Пуассона (не обязательно одинаковых). Известно [8], что для однослойного основания на правой полуплоскости действительный корень



Фиг. 4



Фиг. 5

один. С изменением  $\beta$  корни меняются непрерывно, каждому комплексному корню соответствует комплексно-сопряженный. Таким образом, число действительных корней может уменьшаться или увеличиваться как минимум на два одновременно. Между тем при  $\beta=0$  количество действительных корней равно количеству слоев (в данном случае — двум), а при  $\beta=1$  действительный корень должен остаться один.

Указанный парадокс разрешается следующим образом. Условие непрерывности при  $t \rightarrow 1$  действительно выполняется для каждого корня в отдельности, но не для всего множества корней. «Лишний» действительный корень при  $t \rightarrow 1$  стремится к  $+\infty$ , но эту роль поочередно исполняют различные корни, выходя к действительной оси и сходя с нее (фиг. 2). Проиллюстрируем этот процесс так. Уравнение  $\det A_0 = 0$  является квадратным относительно  $t$ . Построим графики  $t(k, H)$  для различных сочетаний параметров слоев (фиг. 3). Кривые 1—3 относятся к случаям:  $v_1 = v_2 = 0,3$ ;  $v_1 = 0,3, v_2 = 0,2$ ;  $v_1 = 0,3, v_2 = 0,4$ . Две ветви графика  $t(k, H)$ , соответствующие двум корням квадратного уравнения, относятся к случаям  $t > 1$  и  $t < 1$ . Пересечение горизонтальной прямой  $t = t_*$  с графиком  $t(k, H)$  дает значения действительных корней уравнения  $\det A_0 = 0$  при  $t = t_*$ . Локальные максимумы и минимумы кривых на фиг. 3 соответствуют появлению и уходу с действительной оси пар корней при изменении  $t$  (см. фиг. 2). Кривые на фиг. 3 наглядно показывают механизм «передачи на бесконечность» одного из действительных корней при  $t \rightarrow 1$ .

По локальным экстремумам на фиг. 3 и по кривым фиг. 2 можно оценить значения  $t$ , при которых работу слоев хотя бы приближенно можно считать независимой. Очевидно, что выход первой пары корней к действительной оси качественно меняет картину расположения корней. Поэтому в данном случае слои можно приближенно считать работающими независимо при  $t > 6$ . С другой стороны, при  $t < 3$  расположение первых трех корней примерно соответствует случаю однородного слоя суммарной толщины. Итак, попытки смоделировать многослойный пакет одним слоем с некоторыми усредненными характеристиками оправданы только для конечного числа наименьших по модулю корней и в сравнительно узком интервале значений  $t$ . Если же рассматривать большие по модулю корни, то слои можно считать работающими независимо.

Характер поведения корней асимптотического дисперсионного уравнения, рассмотренный выше, сохраняется и для многослойных пакетов. На фиг. 4 показаны корни для трехслойного пакета с характеристиками  $v_1=v_2=v_3=0,3$ ;  $h_1=0,4 H$ ;  $h_2=h_3=0,3 H$ ;  $t_1^{-1}=0,3\beta$ ,  $t_2^{-1}=0,167\beta$  в диапазоне  $\beta$  от нуля до трех. Как и для двухслойного пакета, с увеличением  $\beta$  часть корней выходит на действительную ось и уходит с нее, передавая «лишние» действительные корни вправо (для трехслойного пакета таких корней два).

Для многослойного пакета из графиков  $t_l(k_1 H)$  ( $l=1, 2, \dots, N-1$ ), аналогичных фиг. 3, можно оценить значения  $t_l$ , при которых нижний полупакет слабо влияет на верхний. Из фиг. 4 видно, что приведенная выше оценка  $t > 6$  оправдана как для одного верхнего слоя ( $\beta < 1$  на фиг. 4), так и для двух верхних слоев ( $\beta < 0,55$ ).

На фиг. 5 показано поведение корней дисперсионного уравнения  $\det A=0$  в зависимости от безразмерной частоты  $\theta = \omega H [\operatorname{Re}(\mu_1)/\rho_1]^{-1/2}/\pi$  для двухслойного основания при  $\rho_1=\rho_2$ ;  $v_1=v_2=0,3$ ;  $t=2$ . Кривые 1 относятся к случаю  $\operatorname{Im} \mu_{1,2}=0,05 \operatorname{Re} \mu_{1,2}$ , кривые 2 — к случаю  $\operatorname{Im} \mu_{1,2}=0,02 \operatorname{Re} \mu_{1,2}$ .

Как следует из приведенных выше оценок, в данном случае наименьшие по модулю корни дисперсионного уравнения для двухслойного основания ведут себя подобно корням для однородного основания суммарной толщины. Сохраняется и явление аномальной дисперсии [8] — выход корней к мнимой оси в четвертом квадранте. Как показали вычисления, внутреннее трение сильнее влияет на «аномальные» корни, чем на «нормальные»: затухание аномальных волн происходит примерно вдвое быстрее.

#### СПИСОК ЛИТЕРАТУРЫ

1. Брезовских Л. М. Волны в слоистых средах. М.: Наука, 1973. 343 с.
2. Болотин В. В., Новичков Ю. Н. Механика многослойных конструкций. М.: Машиностроение, 1980. 375 с.
3. Новичков Ю. Н. Распространение плоских волн в слоистых упругих средах регулярной структуры // Изв. АН СССР. МТТ. 1971. № 6. С. 65—73.
4. Болотин В. В. К теории слоистых плит // Изв. АН СССР. ОТН. Механика и машиностроение. 1963. № 3. С. 65—72.
5. Lyster J., Waas G. Shear waves in plane infinite structures // J. Eng. Mech. Div. Proc. Amer. Soc. Civil Eng. 1972. V. 98, No. 1. P. 85—105.
6. Ewing W. M., Jardetzky W. S., Press F. Elastic waves in layered media. New York: McGraw-Hill, 1957. 380 p.
7. Haskell N. A. The dispersion of surface waves in multilayered media // Bull. Seismol. Soc. American. 1953. V. 43, No. 1. P. 17—34.
8. Ворович И. И., Бабешко В. А. Динамические смешанные задачи теории упругости для неклассических областей. М.: Наука, 1979. 319 с.
9. Зильбергейт А. С., Нуллер Б. М. Обобщенная ортогональность однородных решений в динамических задачах теории упругости // Докл. АН СССР. 1977. Т. 234. № 2. С. 333—335.
10. Батенькова Е. Ю., Зильбергейт А. С., Нуллер Б. М. Контактные задачи о вынужденных стационарных колебаниях балок на упругой полосе, полуполосе и прямоугольнике // ПММ. 1979. Т. 43. Вып. 5. С. 902—910.
11. Тяпин А. Г. Расчет жестких фундаментов на волновые воздействия, распространяющиеся в грунте // Строит. механика и расчет сооружений. 1983. № 6. С. 48—51.

Москва

Поступила в редакцию  
20.VII.1988